

A-615

ОБЪЕДИНЕННЫЙ
ИНСТИТУТ
ЯДЕРНЫХ
ИССЛЕДОВАНИЙ
ДУБНА



19/vi-78

2606/2-78

P2 - 11314

Н.С.Амелин, Г.И.Лыкасов

О МЕХАНИЗМЕ

НЕУПРУГОГО $p-d$ РАССЕЯНИЯ НАЗАД

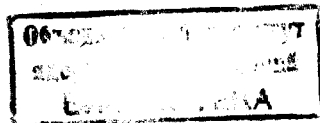
1978

P2 - 11314

Н.С.Амелин, Г.И.Лыкасов

О МЕХАНИЗМЕ
НЕУПРУГОГО $p-d$ РАССЕЙНИЯ НАЗАД

Направлено в ЯФ



Амелин Н.С., Лыкасов Г.И.

P2 - 11314

О механизме неупругого p-d рассеяния назад

Исследуется неупругое p-d рассеяние назад на примере реакции $pd \rightarrow ppp$ при энергии налетающих протонов $T_0 \approx 1$ ГэВ.

Анализируется вклад однократных и двукратных упругих столкновений в инвариантное сечение данной реакции. Показано, что основной вклад в инвариантное сечение протонов, рассеянных в заднюю полусферу с большим импульсом ($p \geq 0,2$ ГэВ/с), дают "треугольные" диаграммы с однопионным обменом.

Работа выполнена в Лаборатории вычислительной техники и автоматизации ОИЯИ.

Препринт Объединенного института ядерных исследований. Дубна 1978

Amelin N.S., Lykasov G.I.

P2 - 11314

On the Mechanism of Inelastic p-d Backward Scattering

The inelastic p-d backward scattering at high energy is investigated. The contributions of the single and double nucleon-nucleon elastic scattering are analysed. It is discussed as well as for the elastic p-d scattering²⁻⁵ the possibility of the one-pion-exchange. For example the backward reaction $pd \rightarrow ppp$ at the proton energy $T_0 = 1$ GeV is considered. It is shown that the approximation of the single and double N-N scattering does not describe the experimental data on the invariant cross section at large momentum of the scattered protons $p \geq 0.2$ GeV/c. The "triangle" graphs with the one-pion-exchange (Fig. 2) at $p \geq 0.2$ GeV/c give the main contribution to this cross section. It is shown that this contribution is proportional to the energy spectra of pions $d\sigma/dT$. One has the resonance character at $T_0 \approx 0.1$ GeV. The inclusion of the "triangle" graphs with the one-pion-exchange allows one to describe the invariant cross section of the inelastic backward p-d scattering (see Figs. 3,4).

The investigation has been performed at the Laboratory of Computing Techniques and Automation, JINR.

Preprint of the Joint Institute for Nuclear Research. Dubna 1978

В последние годы возрос интерес к исследованию взаимодействия адронов и ядер с ядрами при высоких энергиях. Особое внимание было направлено на изучение импульсных распределений адронов в адрон-ядерных и ядерно-ядерных соударениях, рассеянных в заднюю полусферу в л.с., с энергией, превышающей кинематический предел в свободных адрон-адронных столкновениях. Одна из причин пристального внимания к данному вопросу - проверка гипотезы так называемого кумулятивного эффекта¹.

В связи с этим возникает вопрос, можно ли, не вводя новых модельных представлений об адрон-ядерном взаимодействии, объяснить ряд экспериментальных фактов об адрон-ядерном рассеянии на большие углы.

В настоящей работе исследуется механизм неупругого p-d рассеяния в заднюю полусферу на примере реакции $pd \rightarrow ppp$ при энергии налетающих протонов $T_0 = 1$ ГэВ. Анализируется вклад однократного и двукратного N-N столкновений в импульсное распределение протонов, вылетевших назад, а также возможность однопионного обмена в данной реакции. Показывается, что, как и для упругого p-d рассеяния назад²⁻⁵, механизм однопионного обмена дает основной вклад в инвариантное сечение протонов, рассеянных в заднюю полусферу с импульсом $p \geq 0,2$ ГэВ/с.

Амплитуду реакции $pd \rightarrow ppp$ с учетом однократных N-N рассеяний /рис. 1/ и "треугольной" диаграммы /рис. 2/ с однопионным обменом запишем в виде

$$F_d = F_d^{(1)} + F_d^{(2)} + F_d^{(3)} \dots \quad /1/$$

где $F_d^{(1)} = \Phi_0(p_3)F_{pn}(Q)$ - вклад однократного p-n рассеяния /рис. 1а/;^{6/}; $F_d^{(2)} = \Phi_0(p_2)F_{pp}(Q)$ - вклад однократного p-p рассеяния /рис. 1б/;^{6/}; Φ_0 - фурье-образ волновой функции дейтрона; F_{pp}, F_{pn} - амплитуды свободного p-p и p-n рассеяний /в л.с./ соответственно; $Q = p_0 - p_1$ - переданный трехимпульс; p_0, p_1 - трехимпульсы налетающего и рассеянного протонов; p_2, p_3 - трехимпульсы протона и нейтрона развалившегося дейтрона соответственно; $F_d^{(3)}$ - вклад "треугольной" диаграммы /рис. 2/.

Амплитуду F_d нормируем, как и в работе^{6/}, следующим образом:

$$\mathcal{F}_d = \sqrt{(2\pi)^3} M_d F_d;$$

дифференциальное сечение рассматриваемой реакции

$$\frac{d\sigma}{d^3p_1 d^3p_2 d^3p_3} = \frac{1}{4M_d p_0} |\mathcal{F}_d|^2 \delta(p_0 - p_1 - p_2 - p_3) \times \\ \times \frac{\delta(M_d + E(p_0) - E(p_1) - E(p_2) - E(p_3))}{(2\pi)^5 2E(p_1)2E(p_2)2E(p_3)},$$

где $M_d \approx 2m$ - масса дейтрона, m - масса нуклона. Для $F_d^{(3)}$ можно записать следующее выражение^{6/}:

$$F_d^{(3)} = -\frac{1}{(2\pi)^3} \int \Phi_0(k) f_\pi(p_0 - q) G(k) F^\pi(q) g \frac{d^3k}{4E(k)E(q)}.$$

/2/

Здесь

$$G(k) = [M_d + E(p_0) - E(-k) - E(q) - E(p_1) - E(p_2) + i\epsilon]^{-1}$$

свободная функция Грина в нековариантном формализме Ватсона; f - амплитуда реакции $pN \rightarrow \pi NN$ на массовой поверхности; $F^\pi(q)$ - формфактор, учитывающий

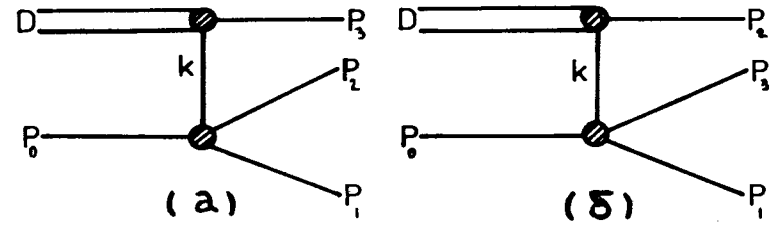


Рис. 1. Диаграммы однократного N-N рассеяния в реакции $pd \rightarrow ppp$.

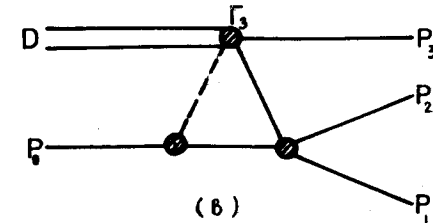
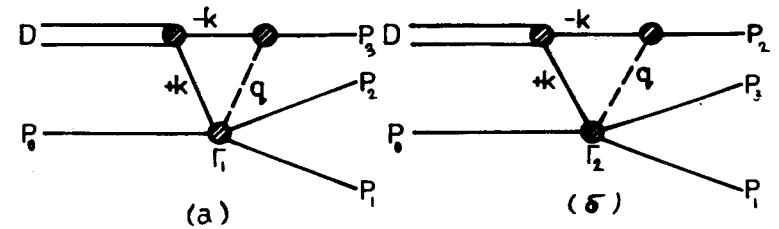


Рис. 2. "Треугольные" диаграммы с однопионным обменом.

внемассовость π -мезона; g - константа сильной связи / $g^2/4\pi = 14,7/$; k - трехимпульс нуклона внутри дейтрона; $q = p_3 - k$ - трехимпульс промежуточного π -мезона. $G(k)$ можно представить в линеаризованном по k виде^{6/}:

$$G(k) \sim [\lambda + \vec{v}_3 \vec{k} + i\epsilon]^{-1},$$

где

$$\vec{v}_3 = \frac{\vec{p}_3}{E_\pi(p_3)}, \quad \lambda = -m + E_N(p_3) - E_\pi(p_3),$$

$$E_N(p_3) = \sqrt{p_3^2 + m^2}, \quad E_\pi(p_3) = \sqrt{p_3^2 + \mu^2},$$

μ - масса π -мезона.

Тогда выражение /2/ запишется в виде

$$F_d^{(3)} = -\frac{g}{(2\pi)^3} \int \frac{\Phi_0(k) f_\pi(\vec{p}_0 - \vec{p}_3 + \vec{k}) F^\pi(\vec{p}_3 - \vec{k}) d^3k}{4E(k) E_\pi(p_3 - k) (\lambda + \vec{v}_3 \vec{k} + i\epsilon)} \quad /3/$$

Учитывая, что $\Phi_0(k)$ - резко спадающая с ростом k функция, амплитуду $f_\pi(p_0 - p_3 + k)$ можно вынести из-под знака интеграла при $k=0$. Формфактор тоже выносим из-под знака интеграла при среднем значении внутри-дейтронного импульса $k=k_0$. Расчеты показали, что окончательный результат, т.е. инвариантное сечение исследуемой реакции, мало чувствителен к варьированию k_0 в пределах $k_0 = /100 \div 150/$ МэВ/с.

Тогда после простых преобразований получим

$$F_d^{(3)} = \frac{ig f_\pi(\vec{p}_0 - \vec{p}_3) F^\pi(k_0)}{(2\pi)^{3/2} 4 p_3 m} I_1, \quad /4/$$

где

$$I_1 = \int_0^\infty e^{iax} \Phi_0(x) dx, \quad a = (-m + E_N(p_3) - E_\pi(p_3)) \frac{E_\pi(p_3)}{|\vec{p}_3|}.$$

Инвариантное сечение протонов с импульсом p_3 в рассматриваемой реакции $pd \rightarrow ppn$ в л.с. можно записать в виде

$$\frac{1}{p_3 \sigma_{tot}^{pd}} \cdot \frac{d\sigma}{dT_3 d\Omega} = \frac{E_N(p_3)}{\sigma_{tot}^{pd}} \cdot \frac{d\sigma}{d^3 p_3}, \quad /5/$$

где

$$\frac{d\sigma}{d^3 p_3} = \int \frac{|F_d|^2 p_2 d\Omega_2}{(2\pi)^5 4 M_d p_0 8 E_N(p_1) E_N(p_3)}. \quad /6/$$

Амплитуды упругого N-N рассеяния нормированы, как и в работе /6/:

$$\sigma_{tot, NN}^{el} = \frac{1}{4 m p_0} \int |F_{NN}|^2 \frac{d^3 p_1 d^3 p_2 \delta(p_0 - p_1 - p_2) \delta(E_0 + m - E_1 - E_2)}{(2\pi)^2 2E_1 2E_2}, \quad /7/$$

$\sigma_{tot, NN}^{el}$ - полное сечение упругого N-N рассеяния.

Импульсное распределение $\frac{d\sigma}{d^3 p_3}$, согласно вышесказанному, можно разбить на следующие части:

$$\frac{d\sigma}{d^3 p_3} = \frac{d\sigma^{(1)}}{d^3 p_3} + \frac{d\sigma^{(2)}}{d^3 p_3} + \frac{d\sigma^{(3)}}{d^3 p_3} + \frac{d\sigma^{(inter)}}{d^3 p_3},$$

где $\frac{d\sigma^{(1)}}{d^3 p_3}$ - сечение, обусловленное однократным p-p рассеянием, $\frac{d\sigma^{(2)}}{d^3 p_3}$ - сечение, обусловленное однократным p-p рассеянием, $\frac{d\sigma^{(3)}}{d^3 p_3}$ - сечение, обусловленное вкладом "треугольных" диаграмм с однопионным обменом /рис. 2/, $\frac{d\sigma^{(inter)}}{d^3 p_3}$ - все интерференционные члены.

Подставляя выражение для $F_d^{(1)}$ в /6/ и используя /7/, получаем для $d\sigma^{(1)}/d^3 p_3$

$$\frac{d\sigma^{(1)}}{d^3 p_3} = \frac{m}{E_N(p_3)} \cdot \Phi_0^2(p_3) \cdot \sigma_{tot, pn}^{el}. \quad /8/$$

Из выражения /8/ видно, что импульсное распределение, обусловленное только однократным p - n соударением, с ростом p_3 резко спадает пропорционально $\Phi_0^2(p_3)$.

Для $\frac{d\sigma}{d^3p_3}^{(2)}$ аналогичным образом получаем

$$\frac{d\sigma}{d^3p_3}^{(2)} = \frac{1}{(2\pi)^2 16 p_0 E_N(p_3)} \int \Phi_0^2(p_2) |F_{pp}(Q)|^2 \frac{p_2 d \cos \theta_2}{E(p_1)} \quad /9/$$

Так как протоны с импульсом p_3 вылетают в заднюю полусферу, то упругое p - p рассеяние при вычислении $\frac{d\sigma}{d^3p_3}^{(2)}$ /см. рис. 16/ необходимо рассматривать как упругое рассеяние налетающего протона на движущемся внутри дейтрона протоне. Амплитуду $F_{pp}(Q)$ в /9/ удобнее рассматривать в с.ц.м. Как известно из экспериментальных данных /7/, дифференциальное сечение упругого N - N рассеяния назад в с.ц.м. при $T_0 > 1$ ГэВ хорошо аппроксимируется экспоненциальной Q^2 -зависимостью. Поэтому в нашем случае амплитуду упругого p - p столкновения в с.ц.м. $f_{pp}^c(Q)$ возьмем в виде /7/

$$f_{pp}^o(Q) = f_{pp}^c(0) e^{-Q_c^2 b/2}$$

$$\vec{Q}_c = \frac{\vec{p}_0 - \vec{k}}{2} - \frac{\vec{p}_1 - \vec{p}_3}{2} = \vec{p}_3 + \frac{\vec{p}_2 - \vec{k}}{2} = \vec{p}_3 + \frac{\vec{p}_2}{2} - \frac{k_0}{2},$$

т.е. переданный трехимпульс Q_c берем при среднем внутридейтронном импульсе k_0

$$f_{pp}^L(0) = \frac{p_0}{p_c} f_{pp}^c(0), \quad f_{pp}^c(0) = \frac{i + \alpha}{4\pi} p_c \sigma_{tot,pp}$$

где $f_{pp}^{(0)}$ - амплитуда упругого p - p рассеяния в л.с., $Q^2=0$; p_c, p_0 - импульсы налетающего протона в с.ц.м. и л.с. соответственно; $\alpha = \text{Re} f_{pp}^c(0) / \text{Im} f_{pp}^c(0)$; $\sigma_{tot,pp}$ - полное сечение упругого p - p рассеяния. Амплитуда $F_{pp}(Q)$, входящая в /9/, связана с f_{pp}^L следующим образом:

$$F_{pp}(Q) = 8\pi \sqrt{m p_0 E(p_2) / p_1} f_{pp}^L(Q).$$

Как показали вычисления, значения /9/ при всех p_3 меньше /8/, т.е.

$$\frac{d\sigma}{d^3p_3}^{(2)} \leq 0.1 \frac{d\sigma}{d^3p_3}^{(1)}$$

Из вышесказанного следует, что вклад однократного N - N соударения в $d\sigma^{(3)}/d^3p_3$ резко спадает с ростом импульса p_3 . Далее заметим³, что упругое N - N перерассеяние в данной реакции даст пренебрежимо малый вклад в искомое сечение при рассеянии протонов на большие углы $\theta = 90^\circ$ - 180° в л.с., так как из-за малой немассовости нуклонов внутри дейтрона оно незначительно отличается от упругого свободного N - N рассеяния, в котором рассеяние нуклонов назад в л.с. кинематически запрещено.

Если амплитуду f_π нормировать следующим образом в л.с.:

$$d\sigma_\pi = (2\pi)^4 \delta(p_0 - q - p_1 - p_2) \delta(+E(p_0) + m - E(q) - E(p_1) - E(p_2)) \times$$

$$\times \frac{|f_\pi|^2}{4m p_0 E(q) E(p_1) E(p_2)} \cdot \frac{d^3p_1 d^3p_2 d^3p_3}{(2\pi)^3}, \quad /10/$$

то, подставляя /4/ в /6/, для $d\sigma^{(3)}/d^3p_3$ получаем:

$$\frac{d\sigma^{(3)}}{d^3 p_3} = \frac{g^2 m E_\pi(p_3) [F^\pi(p_3 - k_0)]^2}{8 p_3^2 E_N(p_3)} |I_1|^2 \frac{1}{p_3 E_\pi(p_3)} \times$$

$$\times \frac{d\sigma_\pi}{dT_\pi d\cos\theta} = \frac{g^2 m [F^\pi(p_3 - k_0)]^2}{8 p_3^3 E_N(p_3) (c_2 - c_1)} |I_1|^2 \frac{d\sigma_\pi}{dT_\pi} \quad /11/$$

Здесь (c_1, c_2) - интервал интегрирования сечения по $d\cos\theta$, он выбирался, как и в работе^{/10/}; $(c_1, c_2) =$
 $= /-1,0, -0,67/; /-0,67, -0,33/$; $\frac{d\sigma_\pi}{dT_\pi}$ - энергетическое распределение π -мезонов /на массовой поверхности/ в реакции $PN \rightarrow \pi NN$;

$$T_\pi = E(q_\pi) - \mu = E_N(p_3) - E(k) - \mu = E_N(p_3) - m - \mu -$$

- кинетическая энергия π -мезона на массовой поверхности. Заметим, что минимальное значение $E_N^{\min}(p_3)$ равно

$$E_N^{\min}(p_3) = m + \mu,$$

что следует из закона сохранения $E(k) + E(q_\pi) = E(p_3)$ при $q_\pi \approx 0$.

Проанализируем более детально "треугольные" диаграммы с однопионным обменом /рис. 2/.

В вершине Γ_1 /рис. 2а/ могут быть амплитуды следующих процессов:

$$а/ \quad pp \rightarrow \pi^+ pn; \quad б/ \quad pn \rightarrow \pi^0 pn.$$

А в вершине Γ_2 /рис. 2б/ могут быть амплитуды таких процессов, как:

$$в/ \quad pp \rightarrow \pi^0 pp; \quad г/ \quad pn \rightarrow \pi^- pp.$$

Из возможных процессов а/-г/ наибольший вклад дают в сечение реакции $pd \rightarrow ppp$ процессы а/, б/. Объясняется это следующим. В выражение $d\sigma^{(3)}/d^3 p_3$

войдет энергетический спектр π -мезонов, если рассматривать диаграмму /2а/, как в /11/, или энергетический спектр протонов $d\sigma_\pi/dT_p$, если учитывать диаграмму /2б/ процесса $pN \rightarrow \pi NN$. Но так как при рассмат-

риваемой энергии $T_0 \approx 1 \text{ ГэВ}$ $\frac{d\sigma_\pi}{dT_\pi} \gg \frac{d\sigma_\pi/8/}{dT_p}$, то вкладом

диаграммы /2б/ в инвариантное сечение искомой реакции пренебрегаем. Вкладом "треугольной" диаграммы /2в/ в сечение /б/ тоже можно пренебречь, т.к. полные сечения реакций $\pi^+ d \rightarrow pp$, $\pi^0 d \rightarrow pn$, которые могут быть в вершине Γ_3 , малы по сравнению с сечениями процессов $pp \rightarrow \pi^+ pn$, $pn \rightarrow \pi^0 pn$ соответственно /например, $\sigma_{\pi^+ d \rightarrow pp} \sim 3\%$ от $\sigma_{pp \rightarrow \pi^+ pn}$ /'8/.

Учитывая вышесказанное, вместо /11/ можно написать

$$\frac{d\sigma^{(3)}}{d^3 p_3} = \frac{g^2 m [F^\pi(p_3 - k_0)]^2 |I|^2}{8 p_3^3 E_N(p_3)} \times$$

$$\times \left[\frac{d\sigma_{pp \rightarrow \pi^+ pn}}{dT_\pi} + \frac{d\sigma_{pn \rightarrow \pi^0 pn}}{dT_\pi} \right]. \quad /12/$$

Энергетический спектр $d\sigma_{pp \rightarrow \pi^+ pn}/dT_\pi$ при $T_0 \approx 1 \text{ ГэВ}$ брался из работы^{/8/}. Он имеет резонансный характер с максимумом при $T_\pi \approx 100 \pm 110 \text{ МэВ/с}$. Из вы-

ражения /12/ видно, что поведение $\frac{d\sigma^{(3)}}{d^3 p_3}$ полностью

определяется резонансным поведением дифференциального сечения $d\sigma_{pN \rightarrow \pi NN}/dT_\pi$. Поскольку нет экспе-

риментальных данных о $d\sigma_{pn \rightarrow \pi^0 pn}/dT_\pi$ при $T_0 \approx$

1 ГэВ , то этот спектр брался в виде $d\sigma_{pn \rightarrow \pi^0 pn}/dT_\pi =$

$$= 0,21 d\sigma_{pp \rightarrow \pi^+ pn}/dT_\pi$$

исходя из соотношения между полными сечениями процессов

$$pp \rightarrow \pi^+ pn, \quad pn \rightarrow \pi^0 pn \quad (\sigma_{pp \rightarrow \pi^+ pn}^{\text{tot}} \approx 0,21 \sigma_{pn \rightarrow \pi^0 pn}^{\text{tot}}).$$

В качестве формфактора F^π брался формфактор Феррари-Селлери^{9/}, как и в работе^{5/}:

$$F^\pi = (1 - \frac{q_\pi^2 - \mu^2}{60\mu^2})^{-1},$$

где q_π - четырехимпульс немассового π -мезона ($q_\pi^2 = E^2(q) - q^2$),

$$F^\pi(k_0) = [1 + \frac{m(E_N(p_3) - m) + p_3 k_0 + \mu^2 / 2}{30\mu^2}]^{-1}.$$

Для интерференционного члена в приближении однократного рассеяния получаем

$$\frac{d\sigma}{d^3 p_3} \text{ (inter.1,2)} = \frac{2m\Phi_0(p_3)}{E_N(p_3)} \int \Phi_0(p_2) F_{pn}^* F_{pp} d\Omega_2.$$

При вычислении остальных членов интерференции амплитуда реакции $pN \rightarrow \pi NN$ считалась чисто мнимой, так как неизвестно отношение $\text{Re} f_\pi / \text{Im} f_\pi$. Выражения

для $d\sigma \text{ (inter.1,2;3,4)} / d^3 p_3$ и $d\sigma \text{ (inter.3,4)} / d^3 p_3$ приведены в Приложении.

Тогда весь интерференционный член, входящий в полное выражение для $d\sigma / d^3 p_3$, можно записать в виде

$$\frac{d\sigma \text{ (inter.)}}{d^3 p_3} = \frac{d\sigma \text{ (inter.1,2)}}{d^3 p_3} + \frac{d\sigma \text{ (inter.1,2;3,4)}}{d^3 p_3} + \frac{d\sigma \text{ (inter.3,4)}}{d^3 p_3}.$$

В работе^{10/} приведены экспериментальные данные

об инвариантном сечении $\frac{1}{p \sigma_{\text{tot}}^{pd}} \cdot d\sigma / dT d\cos\theta$ при $T_0 \approx$

≈ 1 ГэВ, проинтегрированном по $d\cos\theta$ в разных интервалах (c_1, c_2), в зависимости от инвариантной переменной $x = T / T_{\text{max}}$, где T - кинетическая энергия регистрируемых протонов в реакции $pd \rightarrow ppn$, а T_{max} - кинетическая энергия рассеянных под тем же углом протонов в упругом $p-d$ столкновении.

Для сравнения с экспериментом рассчитывалась величина

$$\frac{1}{p_3 \sigma_{\text{tot}}^{pd}} \cdot \frac{d\sigma}{dT_3 d\cos\theta} = \frac{E_N(p_3)}{\sigma_{\text{tot}}^{pd}} \int \frac{d\sigma}{d^3 p_3} d\phi,$$

проинтегрированная по $d\cos\theta$ в интервалах (c_1, c_2): $/-1, -0,67/$, см. рис. 3, $/-0,67, -0,33/$, см. рис. 4, как и в работе^{10/}.

На рис. 3,4 проведено сравнение теоретических и экспериментальных^{10/} значений инвариантного сечения в зависимости от x для двух указанных интервалов по $\cos\theta$. Пунктирная кривая на рис. 3,4 - сечение в приближении только однократного $N-N$ рассеяния; сплошная кривая - сечение с учетом как однократных $N-N$ столкновений, так и "треугольной" диаграммы с однопионным обменом /рис. 2а/.

В качестве волновой функции дейтрона использовалась функция Мак Ги с учетом D -волны^{11/}.

Спиновой зависимостью амплитуд $N-N$ и $pN \rightarrow \pi NN$ рассеяний, как ясно из вышеизложенного, пренебрегалось.

Из рис. 3,4 видно, что приближение однократного $N-N$ рассеяния совершенно не описывает экспериментальное поведение сечения при $x > 0,2$, что соответствует $p_3 \gtrsim 0,2$ ГэВ/с. Учет "треугольных" диаграмм с однопионным обменом дает вполне удовлетворительное согласие теории с экспериментом во всей области изменения x . Кроме того, рис. 3,4 показывают, что при $x > 0,2$ / $p_3 \gtrsim 0,2$ ГэВ/с/ основной и определяющий

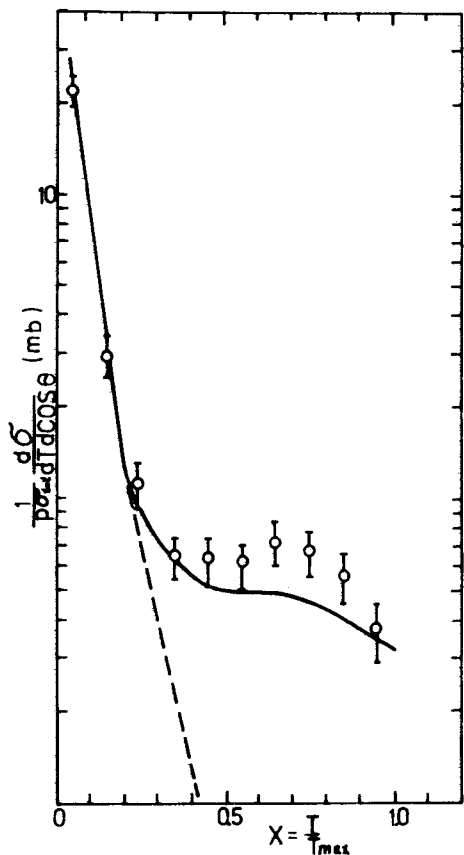


Рис. 3. Зависимость инвариантного сечения от x , проинтегрированного по $d \cos \theta$ в интервале $[-1, -0,67]$.

форму кривой сечения вклад в $\frac{1}{P_3 \sigma_{tot}^{pd}} d\sigma/dT_3 d\cos\theta$

дает "треугольная" диаграмма /рис. 2а/.

Заметим, что используемые выше приближения относительно поведения амплитуд f_{NN} и f_{π} справедливы лишь при рассеянии протонов в реакции $pd \rightarrow ppp$ в заднюю полусферу. Поэтому для анализа искомого инвариантного сечения в интервале по $\cos\theta$ ($-0,33 \div 0$) используемые приближения крайне некорректны. Представляется интересным исследовать, дает ли вышеописан-

ный "треугольный" механизм такое же удовлетворительное согласие теории с экспериментом в области $\cos\theta = -0,33 \div 0$.

Таким образом, один из возможных механизмов, объясняющий поведение инвариантного сечения протонов в реакции $pd \rightarrow ppp$ при $T_0 \approx 1$ ГэВ, рассеянных в заднюю полусферу с большим импульсом $P_3 \geq 0,2$ ГэВ/с, - это "треугольные" диаграммы с однопионным обменом. Этот же механизм нетрудно обобщить и на неупругие инклюзивные реакции $pd \rightarrow pX$.

Как указывалось выше, внемассовость π -мезона учитывалась с помощью формфактора Феррари-Селлери,

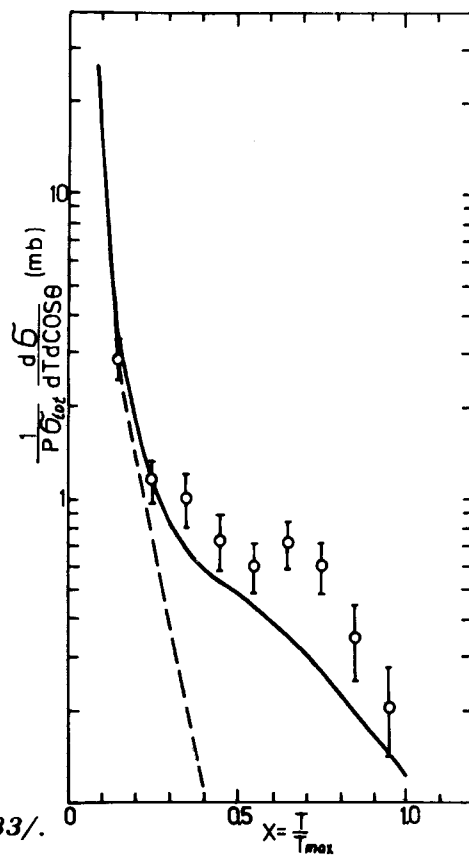


Рис. 4. Зависимость инвариантного сечения от x , проинтегрированного по $d \cos \theta$ в интервале $[-0,67, -0,33]$.

как и в работе ^{/5/}, где было получено вполне удовлетворительное согласие теории с экспериментом. Поэтому для единого описания как неупругого, так и упругого p-d рассеяния был выбран вышеуказанный формфактор.

Механизм однопионного обмена в реакции $pd \rightarrow \pi X$ также использовался в работе ^{/14/} для объяснения "кумулятивного" мезообразования.

Заметим, что возможен еще один механизм p-d рассеяния в заднюю полусферу: перерассеяние нуклонов с образованием изобары в промежуточном состоянии. Такой механизм рассматривался для упругих π -d и p-d рассеяний назад в работах ^{/12,13/}.

Авторы выражают глубокую благодарность Б.С.Алашвили, В.В.Глаголеву, В.Б.Копелиовичу, В.В.Комарову, Л.И.Лапидусу за полезные обсуждения и замечания.

Авторы также признательны В.С.Барашенкову за стимулирующее обсуждение.

ПРИЛОЖЕНИЕ

Приведем выражение для интерференционного члена $d\sigma^{(inter.1,2;3,4)} / d^3 p_3$. Подставляя $F_d^{(1)}$, $F_d^{(2)}$ /4/ в /6/, предполагая, что амплитуда $pN \rightarrow \pi NN$ -рассеяния чисто мнимая, учитывая связь $11/f_\pi$ с $d\sigma_\pi / dT_\pi$, получаем:

$$\frac{d\sigma^{(inter.1,2;3,4)}}{d^3 p_3} = - \frac{A \cdot g [\operatorname{Re} I_1 - \alpha \operatorname{Im} I_1]}{16 \pi \sqrt{2} (P_0 E_1)^{1/2} p_3 E_N(p_3)} \times$$

$$\times F^\pi(k_0) (m E_\pi(p_3))^{1/2} \int [\Phi_0(p_2) + \Phi_0(p_3)] \times$$

$$\times \left\{ \left(\frac{d\sigma_{pp \rightarrow \pi^+ pn}}{d^3 p_3 d\Omega_2} \right)^{1/2} + \right.$$

$$\left. + \left(\frac{d\sigma_{pn \rightarrow \pi^0 pn}}{d^3 p_3 d\Omega_2} \right)^{1/2} \right\} e^{-b Q_c^2 / 2} \sqrt{p_2} d\cos\theta_2 d\phi_2.$$

$$A = 2 (m p_0 E(p_2) / p_1)^{1/2} P_0 \sigma_{tot, NN}$$

При вычислении интеграла выражение в фигурных скобках выносилось из-под знака интеграла, т.е. использовалось следующее приближение:

$$\frac{d\sigma_{pp \rightarrow \pi^+ pn}}{d^3 p_3 d\Omega_2} \approx \frac{1}{4\pi} \frac{d\sigma_{pp \rightarrow \pi^+ pn}}{d^3 p_3} \approx$$

$$\approx \frac{1}{8\pi^2 p_3 E_N(p_3) (c_2 - c_1)} \cdot \frac{d\sigma_{pp \rightarrow \pi^+ pn}}{dT_\pi},$$

где $(c_1, c_2) = /-1, -0,67/; /-0,67, -0,33/$ - интервалы интегрирования по $d\cos\theta$.

Аналогичное выражение бралось для

$$d\sigma_{pn \rightarrow \pi^0 pn} / d^3 p_3 d\Omega_2.$$

Поскольку, как указывалось в тексте, $\frac{d\sigma_{pn \rightarrow \pi^0 pn}}{dT_\pi} = 0,21 \times$
 $\times \frac{d\sigma_{pp \rightarrow \pi^+ pn}}{dT_\pi}$, то для $d\sigma^{(inter.3,4)} / d^3 p_3$ можно по-
 лучить:

$$\frac{d\sigma^{(inter.3,4)}}{d^3 p_3} \approx \frac{g^2 m (F^\pi(k_0))^2 |I|^2}{8 p_3^3 E_N(p_3)} 1,22 \frac{d\sigma_{pp \rightarrow \pi^+ pn}}{dT_\pi}.$$

ЛИТЕРАТУРА

1. Балдин А.М. ОИЯИ, P7-5769, Дубна, 1971. Краткие сообщения по физике, №1, "Наука", М., 1971.
2. Craige N.S., Wilkin C. Nucl.Phys., 1969, B14, p.477.

3. Колыбасов В.М., Смородинская Н.Я. ЯФ, 1973, 17, с.1211; Phys.Lett., 1971, 37B, p.272.
4. Копелиович Б.З., Поташникова И.К. ОИЯИ, P2-6711, Дубна, 1972.
5. Barry George W. Ann. of Phys., 1972, v.73, p.482-524.
6. Головин Б.М. и др. ЯФ, 1972, 16, с.1096.
7. Particle Data Group . Lawrence Radiation Lab., University of California, Berkeley. UCPR-20080NN, August, 1970.
8. Bugg D.V. e.a. Phys. Rev., 1964, 133B, p.1017.
9. Ferrari E., Selleri F. Phys.Rev.Lett., 1961, 7, p.387.
10. Аладашвили Б.С. и др. ОИЯИ, P1-10719, Дубна, 1977.
11. Schmidt K.H. Preprint DESY F23-70/1, 1970.
12. Кондратюк Л.А., Лев Ф.М. ЯФ, 1976, 23, с.1056.
13. Кондратюк Л.А., Лев Ф.М. ЯФ, 1977, 26, с.294.
14. Кондратюк Л.А., Копелиович В.Б. Письма в ЖЭТФ, 1975, 21, с.88-91.

Рукопись поступила в издательский отдел
10 февраля 1978 года.